

## ПРЕДЕЛЬНЫЙ УСТОЙЧИВЫЙ ТОК В ЗАКОМПЕНСИРОВАННОМ ЭЛЕКТРОННОМ ПОТОКЕ

В. И. Волосов

### Введение

Известно, что в потоке заряженных частиц одного знака максимальная величина тока ограничивается собственным объемным зарядом этих частиц [1-6]. Для случая электронного потока предлагалось снять эти ограничения за счет компенсации объемного заряда электронами положительными ионами [7-9]. Однако экспериментальное изучение подобных „закомпенсированных“ потоков показало, что максимальная величина тока в них ненамного превышает ток в „незакомпенсированном“ потоке [1].

Предполагалось, что это явление связано с отсутствием компенсации пучка ионами, хотя тщательного экспериментального изучения процесса компенсации не производилось. Пирс в работе [10] оценил условия стабильности электронного „закомпенсированного“ потока; но так как задача решалась в линейном приближении, то расчеты не могли объяснить причин ограничения тока, кроме того, не удалось согласовать эти результаты с экспериментами (см. [1], стр. 169).

В настоящей работе более простыми методами, чем в [10], показана неустойчивость электронного потока по отношению к малым возмущениям при токе выше некоторого предельного ( $J_{п.}$ ) (величина  $J_{п.}$  совпадает с максимальным током из [10]). Эта неустойчивость проявляется в монотонном нарастании во времени малых начальных возмущений, что приводит к образованию в потоке виртуального катода.

В работе приведены данные экспериментов по изучению предельных устойчивых токов. Величина наблюдавшихся токов хорошо совпадает с теоретическими значениями.

### 1. Неустойчивость полностью закомпенсированного электронного потока

а) Рассмотрим качественно, каким образом может возникать неустойчивость в электронном потоке (плотность электронного объемного заряда ( $\rho_e$ )).

Пусть имеется плоский поток электронов, ограниченный двумя перпендикулярными ему сетками (одномерный поток). Предположим, что в какой-то момент времени в потоке имеется небольшое возмущение средней плотности объемного заряда электронов ( $\bar{\rho}_e$ ), равное  $\Delta\rho_1$  ( $\Delta\rho_1 \ll \bar{\rho}_e$ ). Через промежуток времени, равный времени пролета электрона между сетками ( $t_{п.}$ ), это возмущение уйдет из пучка. Однако в течение времени  $t_{п.}$  возмущение воздействует на влетающие в объем электроны, меняет их скорость и, соответственно, плотность, причем изменение плотности имеет тот же знак, что и начальное возмущение. Изменение средней скорости ( $\bar{v}_e$ ) этих электронов под действием возмущения равно

$$\Delta\bar{v}_e \simeq \frac{\Delta F t_{п.}}{m_e},$$



где  $\Delta F$  — сила, действующая со стороны начального возмущения. Если  $L$  — расстояние между сетками, то

$$\Delta F \simeq -e\overline{\Delta E} \simeq -e\overline{\Delta\rho_1}L.$$

Величина плотности вновь влетающих в объем электронов меняется за счет изменения их скорости. Учитывая, что  $t_{п.} \simeq \frac{L}{\bar{v}_e}$  имеем

$$\overline{\Delta\rho_2} \simeq -\bar{\rho}_e \frac{\overline{\Delta v_e}}{\bar{v}_e} \simeq \frac{e\bar{\rho}_e L^2}{m_e \bar{v}_e^2} \Delta\rho_1$$

или

$$\overline{\Delta\rho_2} = \overline{\Delta\rho_1} \frac{\bar{\omega}_0^2 L^2}{\bar{v}_e^2} = \overline{\Delta\rho_1} \frac{4\pi c e L^2}{m_e} \frac{j_e}{\bar{v}_e^3}, \quad (1)$$

где  $\bar{\omega}_0^2 = \frac{4\pi c \bar{\rho}_e e}{m_e}$ ,  $c$  — множитель порядка 1.

Учитывая (1), зависимость  $\overline{\Delta\rho}$  от времени можно выразить в виде

$$\overline{\Delta\rho}(t) = \overline{\Delta\rho}(0) \exp \left[ \left( \frac{\bar{\omega}_0^2 L^2}{\bar{v}_e^2} - 1 \right) \frac{t}{t_{п.}} \right]. \quad (2)$$

С ростом величины  $j_e$  растет воздействие возмущения на влетающие электроны. При малых токах  $\frac{\bar{\omega}_0^2 L^2}{\bar{v}_e^2} \ll 1$ , т. е.  $\Delta\rho_2 \ll \Delta\rho_1$ , и возмущение

за время пролета исчезает. Если  $\frac{\bar{\omega}_0^2 L^2}{\bar{v}_e^2} > 1$ , то возмущение нарастает во

времени. Граница устойчивости потока определяется равенством  $\frac{\bar{\omega}_0 L}{\bar{v}_e} \simeq 1$ , откуда может быть найдена величина предельного устойчивого тока.

Из (1) можно сделать ряд качественных выводов. Отношение  $\frac{\overline{\Delta\rho_2}}{\overline{\Delta\rho_1}} \sim \frac{1}{\bar{v}_e^3}$ , поэтому в случае, если возмущение приводит к уменьшению

величины  $\bar{v}_e$  ( $\overline{\Delta v_e} < 0$ ;  $\Delta V < 0$ ), развитие неустойчивости ускоряется, так как  $\frac{1}{\bar{v}_e^3}$  растет с ростом возмущения. Наоборот, если  $\bar{v}_e$  растет с ростом возмущения ( $\overline{\Delta v_e} > 0$ ), то процесс развития неустойчивости прекращается за счет уменьшения  $\frac{\overline{\Delta\rho_2}}{\overline{\Delta\rho_1}}$ .

Развитие возмущений при  $\overline{\Delta v_e} < 0$  прекращается, как только скорость некоторой части электронов станет равна нулю; эти электроны отражаются назад к катоду, и в потоке образуется виртуальный катод. В подобном режиме свойства потока электронов резко меняются и рассмотренный выше механизм неустойчивости уже не будет действовать. Величина  $j_{п.}$ , при которой возникает неустойчивость, в несколько раз выше  $j_{кр.}$  ( $j_{кр.}$  — минимальный ток, при котором может существовать виртуальный катод), и поэтому образовавшийся виртуальный катод сохраняется во времени за счет интенсивных колебаний, выбрасывающих ионы из потока и препятствующих его компенсации (см. § 3).

Отметим, что при рассмотрении механизма неустойчивости в задаче не вошла форма распределения потенциала вдоль потока. При выводе не учитывалось также движение ионов. Как видно из оценок, это пред-



положение справедливо, так как время развития неустойчивости порядка времени пролета электрона, а ионы за то же время в тех же полях пройдут путь в  $\sqrt{\frac{m_i}{m_e}}$  раз меньший и их можно считать практически неподвижными.

Подобным образом развитие возмущений, по-видимому, происходит и в электронном пучке без ионов при токе, равном  $j_{\max}$  (см. рис. 2). Так как средняя скорость электронов при этом приблизительно в 2 раза меньше их начальной скорости, то величина предельного тока будет грубо в 8 раз меньше, чем для закомпенсированного пучка. Точный расчет дает для отношения этого предельного тока к  $j_{\max}$  значение  $\frac{j_{\text{п.}}}{j_{\max}} = \frac{9\pi^2}{16} = 5.6$  (см. § 1, б).

б) Решим более аккуратно предыдущую задачу, предполагая, что электронный поток полностью закомпенсирован ионами. Пусть в невозмущенном решении найдены:  $V_0$  — потенциал пучка,  $v_0$  — скорость электронов,  $j_0$  — плотность тока и  $\rho_e$ . Введем в задачу малые возмущения  $V(x) = V_0 + V_1(x)$ ,  $V_1 \ll V_0$  и т. д. Для них получаем следующие уравнения

$$\left. \begin{aligned} \frac{\partial^2 V_1}{\partial x^2} &= 4\pi\rho_1 \text{ — уравнение Пуассона,} \\ \frac{\partial}{\partial x}(\rho_0 v_1 + \rho_1 v_0) &= -\frac{\partial \rho}{\partial t} \text{ — уравнение непрерывности,} \\ m \frac{dv_1}{dt} &= e \frac{\partial V_1}{\partial x} \text{ — уравнение движения,} \end{aligned} \right\} \quad (3)$$

где  $e = |e|$  и  $\rho = |\rho|$ .

Так как инжектируется невозмущенный поток электронов, то краевые условия имеют вид:  $V_1(0, t) = 0$ ;  $v_1(0, t) = 0$  и  $\rho_1(0, t) = 0$ ; кроме того, предполагается, что  $V_1(L, t) = V_1(0, t)$ .

Критерий устойчивости для этой системы уравнений был найден в [10], поэтому рассмотрим лишь те особенности решения, которые не рассматривались ранее и которые поясняют физический смысл этой неустойчивости.

Решение системы (3) дает для  $\rho_1$

$$\rho_1(x, t) = F(x - v_0 t) \sin \frac{\omega_0}{v_0} x,$$

где  $\omega_0^2 = \frac{4\pi e \rho_e}{m_e}$ , а  $F$  — произвольная функция аргумента. В окрестности границы неустойчивости  $F$  слабо зависит от времени, поэтому представим ее в виде  $F(t) = F(0) e^{-\beta v_0 t}$ , где  $\beta$  — малый параметр. С учетом краевых условий при  $x = 0$  получаем для  $V_1$

$$\begin{aligned} V_1(x, t) &= c_1 e^{-\beta v_0 t} \left\{ \sin \frac{\omega_0}{v_0} x + \beta \left[ x \sin \frac{\omega_0}{v_0} x + 2 \frac{v_0}{\omega_0} (\cos \frac{\omega_0}{v_0} x - 1) \right] + \right. \\ &\quad \left. + \beta^2 \left[ \left( \frac{x^2}{2} - \frac{v_0^2}{\omega_0^2} \right) \sin \frac{\omega_0}{v_0} x + 2 \frac{v_0}{\omega_0} x \cos \frac{\omega_0}{v_0} x + \frac{v_0}{\omega_0} x \right] + O(\beta^3) \right\}. \end{aligned}$$

Учитывая краевые условия при  $x = L$ , получаем, что если  $\frac{\omega_0}{v_0} L = \pi n + \alpha$  ( $|\alpha| \ll 1$ ), при  $n$ -нечетных  $\beta \simeq -\alpha \frac{\pi n}{4L}$ ; при  $n$ -четных  $\beta \simeq \pm \frac{\sqrt{\alpha \pi n}}{L}$ . Отсюда также видно, что при  $\frac{\omega_0 L}{v_0} = \pi n$  в пучке может сохраняться во



времени начальное возмущение  $V_1$  („стационарное“ возмущение), распределение которого вдоль потока имеет вид

$$V_1(x) = c_1 \sin \frac{\pi x}{L}.$$

При  $n = 1$ ,  $\beta \simeq -\frac{\alpha\pi}{4L}$

$$\left. \begin{aligned} V_1(x, t) &= V_1(x, 0) \exp \frac{\alpha v_0 t}{4L}, \\ V_1(x, 0) &= c_1 \left\{ \sin(\pi + \alpha) \frac{x}{L} - \frac{\alpha}{4} \left[ 2 \left( \cos \frac{\pi x}{L} - 1 \right) + \frac{\pi x}{L} \sin \frac{\pi x}{L} \right] \right\} \end{aligned} \right\} \quad (4)$$

( $c_1$  — константа, имеющая размерность  $V_1$ ) это соответствует плотности тока

$$j \simeq \left( \frac{\pi}{2} + \alpha \right) \sqrt{\frac{2e}{m_e} \frac{V_0^{3/2}}{L^2}}. \quad (5)$$

Таким образом, при плотности тока больше некоторой предельной [ $J_{п.}$  определяется из (5) при  $\alpha = 0$ ] в потоке электронов нарастает во времени 1-я гармоника разложения по синусам любого малого возмущения потенциала  $V_1(x, 0)$ . При  $n = 2, 3, \dots$  аналогичные условия выполняются для более высоких гармоник. Однако эти случаи не представляют практического интереса, так как соответствуют токам в 4, 9... и т. д. раз бóльшим, тогда как в любом реальном возмущении  $V_1(x, 0)$  имеется 1-я гармоника и неустойчивость развивается при токах, определяемых (5).

в) Из решения предыдущей задачи видно, что когда ток равен предельному, то в потоке электронов сохраняется начальное возмущение. При увеличении тока оно нарастает во времени. Таким образом, задача о нахождении предельного устойчивого тока сводится к нахождению условий, при которых возможно существование „стационарных“ возмущений. Для этого находим решение уравнений, аналогичных (3) при  $\frac{\partial}{\partial t} = 0$ , и по виду функции  $V_1(x)$  определяем минимальное значение тока, при котором возможны подобные решения.

Метод стационарных возмущений пригоден для нахождения  $J_{п.}$  в случае любой геометрии, однако необходимо, чтобы выполнялись краевые условия, аналогичные сформулированным выше, т. е. в некотором сечении потока —  $V(t)$ ,  $v(t)$  и  $\rho(t)$  — должны быть постоянными. Пользуясь этим методом, найдем величину предельного тока для систем с более сложной геометрией.

Для плоского ленточного пучка (рис. 1, а) величина предельного тока на единицу длины равна

$$J_{п.} = \frac{1}{\pi} \sqrt{\frac{2e}{m_e} \frac{V_0^{3/2}}{b}} F_1(a, b),$$

где  $F_1(a, b) = \left( \frac{\omega_0}{v_0} \right)^2 ab$ ;  $\frac{\omega_0}{v_0}$  определяется из уравнения

$$\sqrt{\left( \frac{\omega_0}{v_0} \right)^2 - \left( \frac{\pi}{L} \right)^2} \operatorname{tg} a \sqrt{\left( \frac{\omega_0}{v_0} \right)^2 - \left( \frac{\pi}{L} \right)^2} = \frac{\pi}{L} \operatorname{cth} \frac{\pi}{L} (b - a),$$

$F_1$  — лежит в пределах от 1 ( $a \ll b$ ) до  $\frac{\pi^2}{4}$  ( $a = b$ ). Величина максимального незакомпенсированного тока на единицу длины в том же случае равна

$$J_{\max} = \frac{2}{9\pi} \sqrt{\frac{2e}{m_e} \frac{V_0^{3/2}}{b}} F_{\max} \left( \frac{a}{b} \right),$$



$F_{\max}$  вычислено в [5] и лежит в пределах от 0.87 ( $a \ll b$ ) до 2 ( $a = b$ ).  
Для цилиндрического пучка (рис. 1, б) предельный ток равен

$$J_{\text{п.}} = \frac{1}{2} \sqrt{\frac{2e}{m_e}} V_0^{3/2} F_2$$

или, выражая ток в амперах, а напряжение в вольтах,

$$J_{\text{п.}} = 3.31 \cdot 10^{-5} \cdot V_0^{3/2} F_2,$$

$F_2 = \left(\frac{\omega_0}{v_0}\right)^2 r_0^2$  и может быть найдено из

$$\frac{\sqrt{\left(\frac{\omega_0}{v_0}\right)^2 - \left(\frac{\pi}{L}\right)^2} J_1\left(r_0 \sqrt{\left(\frac{\omega_0}{v_0}\right)^2 - \left(\frac{\pi}{L}\right)^2}\right)}{J_0\left(r_0 \sqrt{\left(\frac{\omega_0}{v_0}\right)^2 - \left(\frac{\pi}{L}\right)^2}\right)} = \frac{I_1\left(\frac{\pi r_0}{L}\right) K_0\left(\frac{\pi R}{L}\right) + I_0\left(\frac{\pi R}{L}\right) K_1\left(\frac{\pi r_0}{L}\right)}{I_0\left(\frac{\pi r_0}{L}\right) K_0\left(\frac{\pi R}{L}\right) - I_0\left(\frac{\pi R}{L}\right) K_0\left(\frac{\pi r_0}{L}\right)},$$

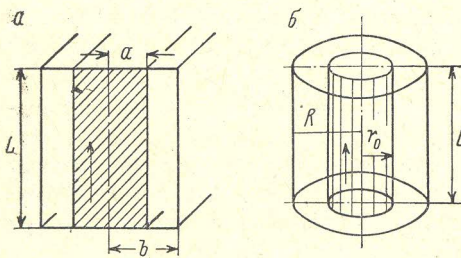


Рис. 1.

а — ленточный пучок; б — цилиндрический пучок.

$J$ ,  $I$  и  $K$  — цилиндрические функции.  
Если  $L \gg R$ , то выражение упрощается

$$\frac{J_1\left(\frac{\omega_0 r_0}{v_0}\right)}{J_0\left(\frac{\omega_0 r_0}{v_0}\right)} = \frac{v_0}{\omega_0 r_0 \ln \frac{R}{r_0}}.$$

В этом случае при  $\frac{R}{r_0} = 1$   $F_2 =$

$$= 2.4; \text{ при } \frac{R}{r_0} = 6 \quad F_2 = 0.988.$$

Для сравнения величина максимального незакомпенсированного тока равна ( $L \gg R$ )

$$J_{\max} = 1.65 \cdot 10^{-5} \cdot V_0^{3/2} \omega_m$$

( $J$  в амперах,  $V_0$  в вольтах).  $\omega_m$  вычислено в работе [6] и равно 1.95 при  $\frac{R}{r_0} = 1$  и 0.38 при  $\frac{R}{r_0} = 6$ . Для изучавшейся системы (см. § 3) можно оценить  $J_{\max}$  и  $J_{\text{п.}}$ , предполагая, что  $L \gg R$  (учет конечной длины пучка увеличивает токи на  $\sim 5\%$ ). При  $V_0 = 1$  кв имеем  $J_{\text{п.}}^{\text{н}} \approx 1.03$  а и  $J_{\max} \approx 0.197$  а ( $\frac{R}{r_0} = 6$ ).

## 2. Неустойчивость частично закомпенсированного электронного потока

Пользуясь методом „стационарных“ возмущений, решим задачу о предельной плотности тока между двумя сетками, если имеется зависимость  $V_0(x)$  от координат, т. е. задачу о частично закомпенсированном электронном потоке (предполагается, что  $V\left(-\frac{L}{2}\right) = V\left(\frac{L}{2}\right)$ ; начало координат выбрано в центре потока).

Уравнения (3) в этом случае будут иметь вид

$$\left. \begin{aligned} \frac{\partial^2 V_1}{\partial x^2} &= 4\pi\rho_1, \\ \rho_1 v_0 &= -\rho_0 v_1, \\ \frac{\partial v_1}{\partial x} v_0 &= -\frac{e}{m_e} \frac{\partial V_1}{\partial x}, \end{aligned} \right\} \quad (6)$$

откуда для  $v_1(x)$  получаем

$$[v_1'(x) v_0(x)]' = -\frac{\omega_0^2}{v_0(x)} v_1(x). \quad (7)$$

В случае  $v_0(x) = \text{const}$  и  $\rho_0(x) = \text{const}$  из (7) получаются те же значения  $j_{п.}$ , что и из (5).

Рассмотрим случай, когда в потоке имеется параболическое провисание потенциала. Тогда если  $V_0(x) = V_0(0)(1 - 2ax^2)$ , то  $v_0(x) \simeq v_0(0)(1 - ax^2)$ .

Введем  $\gamma = \frac{\Delta v_0}{v_0(0)} = \frac{v_0(\frac{L}{2})}{v_0(0)} - 1$ , где  $v_0(0)$  — скорость электронов в центре, а  $v_0(\frac{L}{2})$  — скорость инжектируемых электронов (предполагается  $\gamma \ll 1$ ). Представляя  $v_1(x)$  в виде ряда

$$v_1(x) = \sum_{n=0}^{\infty} c_n x^n$$

и подставляя его в (7), находим

$$v_1(x) = c_0 \left[ \cos \frac{\omega_0}{v_0} x + 1.028\gamma \left(\frac{2x}{L}\right)^4 - (0.456\gamma + 0.986\gamma^2) \left(\frac{2x}{L}\right)^6 + (0.058\gamma + 0.637\gamma^2 + 0.875\gamma^3) \left(\frac{2x}{L}\right)^8 - (0.002\gamma + 0(\gamma^2)) \left(\frac{2x}{L}\right)^{10} \right].$$

Из условия  $V_1\left(-\frac{L}{2}\right) = 0$  имеем в 1-м приближении

$$\cos \frac{\omega_0(0)L}{2v_0(0)} = -0.627\gamma$$

или

$$\frac{\omega_0(0)L}{v_0(0)} = \pi(1 + 0.399\gamma).$$

Выражая  $\omega_0(0)$  и  $v_0(0)$  через  $\omega_0\left(\frac{L}{2}\right)$  и  $v_0\left(\frac{L}{2}\right)$ , получим величину предельной плотности тока при наличии провисания  $j_{п.}(\gamma)$  через ту же величину в закомпенсированном потоке  $j_{п.}(0)$

$$j_{п.}(\gamma) \simeq j_{п.}(0)(1 - 2.20\gamma)$$

или учитывая, что  $\frac{\Delta V_0}{V_0(0)} \simeq 2\gamma$ ,

$$j_{п.}(\gamma) \simeq j_{п.}(0) \left(1 - 1.10 \frac{\Delta V_0}{V_0}\right). \quad (8)$$

На графике зависимости минимального потенциала ( $V_{\min} = V_0\left(\frac{L}{2}\right) - \Delta V_0$ ) в незакомпенсированном потоке от тока можно построить кривую значений предельных токов, т. е. границу устойчивых состояний частично закомпенсированного электронного потока (см. I на рис. 2). Эта граница зависит не только от  $\frac{\Delta V_0}{V_0}$ , но и от распределения  $V_0(x)$  вдоль  $x$ , и, таким образом, существует множество кривых (II на рис. 2) для различных распределений. В полностью закомпенсированном потоке ( $\gamma = 0$ ) и в чисто электронном потоке распределение потенциала одно-



значно, и поэтому все кривые, описывающие реальные распределения в пучках, должны пересекаться в этих точках. На рис. 2 видно, что вычисленная граница неустойчивости уже в 1-м приближении пересекает кривую состояний незакомпенсированного потока (III на рис. 2) близко к точке максимального тока (см. § 1). На том же рисунке видно, что

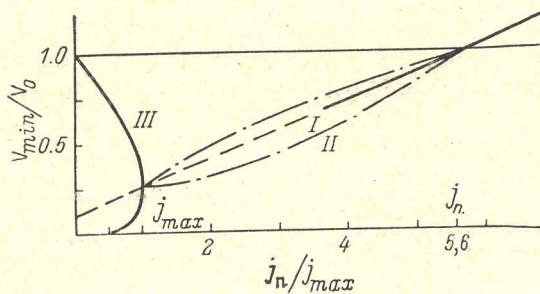


Рис. 2: Зависимость  $J_n$  от  $V_{\min}$  в плоском электронном потоке (I) (1-е приближение).

если в закомпенсированном потоке происходят колебания потенциала (с периодом, много большим времени пролета электронов), то предельный ток будет уменьшаться и определяться максимальным провисанием потенциала в процессе этих колебаний.

симметричная система, схематический разрез которой дан на рис. 3. Перед катодом 1 ставилась управляющая сетка 2, изменением потенциала которой можно было регулировать ток в пучке. Отверстия в крышках анода 3 были закрыты сетками 4, соединенными с анодом, и поэтому потенциалы, подаваемые на управляющую сетку и коллектор 5, не искажали краевых условий в дрейфовом пространстве. На коллектор подавался небольшой положительный потенциал (+300 в), уменьшающий выход вторичных электронов в область дрейфового пространства с коллектора и 2-й сетки. На катод подавались прямоугольные отрицательные импульсы высокого напряжения ( $V_0$ ); так как управляющая сетка была соединена с катодом через  $R_1 C_1$ -цепочку, ток в пучке плавно нарастал за время, определяемое величиной  $R_1 C_1$ , при этом все время выполнялось условие

$$\frac{\partial J}{\partial t} < \frac{J_{\max}}{\tau}, \quad (9)$$

где  $\tau$  — время компенсации пучка. За счет компенсации ионами максимальное провисание потенциала в пучке могло быть порядка  $\frac{V_0 \tau}{R_1 C_1}$ .

Величина проходящего тока регистрировалась по осциллограммам, снимаемым с коллектора. Вдоль пучка было приложено магнитное поле.

В ряде экспериментальных работ (см. [1]) делались попытки получить в закомпенсированном пучке большие электронные токи, однако максимальная наблюдавшаяся величина незначительно превышала  $J_{\max}$ . Эти результаты объясняются тем, что в экспериментах не учитывался гистерезисный характер свойств пучка при большой плотности тока и не выполнялось условие (9); в этом случае в момент включения пучка в нем образуется виртуальный катод, который сохраняется в дальнейшем и ограничивает величину проходящего тока.

Предварительно, для более аккуратной проверки теории, которая дает отношение  $\frac{J_{\max}}{J_n}$ , слабо зависящее от параметров (в частности, от геометрии и величины  $V_0$ ), было измерено значение максимального тока  $J_{\max}$  в незакомпенсированном пучке. В этих измерениях величина

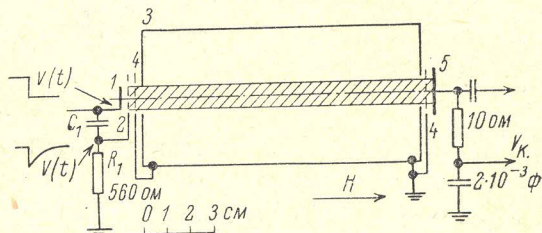


Рис. 3. Схема эксперимента.



была выбрана много меньше  $\tau$ . Максимальный ток определялся перед первым провалом на осциллограмме тока на коллектор, что соответствовало появлению в пучке виртуального катода (см. рис. 2). Величина  $J_{\max}$  для данной системы при  $V_0 = 1$  кв равнялась  $\sim 0.185$  а, время до момента измерения  $J_{\max}$  было  $\sim 8$  мксек.;  $\tau \approx 100$  мксек.

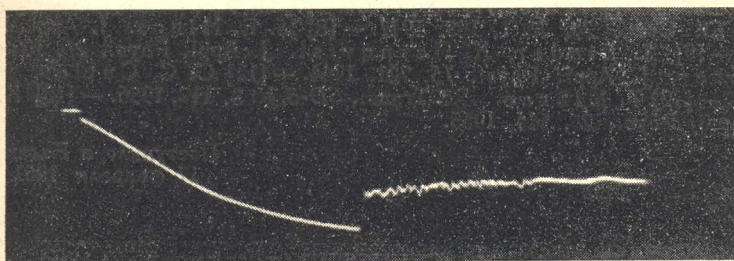


Рис. 4. Осциллограмма тока  $J_k(t)$  при медленном нарастании инжектируемого тока.  
 $J_{п.} = 0.97$  а,  $p = 6 \cdot 10^{-6}$  мм рт. ст.,  $V_0 = 1$  кв, длительность осциллограммы 210 мксек.

Предельный ток измерялся в режиме  $R_1 C_1 \gg \tau$ . Типичная осциллограмма для этого случая приведена на рис. 4. Тогда как инжектируемый ток непрерывно растет, величина тока, идущего на коллектор при достижении им некоторого предельного значения  $J_{п.}$ , скачком падает, после чего на осциллограмме появляются колебания.

Подобный срыв тока мог быть связан только с появлением в пучке виртуального катода. Подобные осциллограммы наблюдались при изменении магнитного поля от 20 до 2000 эрст., причем величина  $J_{п.}$  менялась не более чем на 10—20% (при  $H > 500$  эрст. предельный ток оставался практически постоянным). Осциллограммы не зависели также от давления в системе ( $p$  от  $10^{-6}$  до  $10^{-5}$  мм рт. ст.). На рис. 5 приведены максимальные наблюдавшиеся значения  $J_{п.}$  при различных  $V_0$ , а также построена теоретическая кривая значений  $J_{п.}$  (на рис. 5 деления оси  $x \sim V_0^{3/2}$ ).

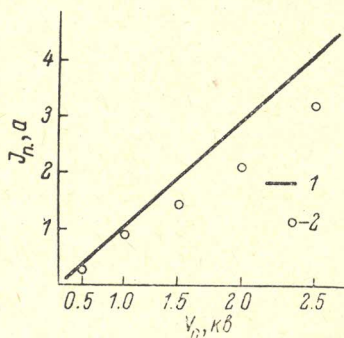


Рис. 5.

1 — теоретическая кривая; 2 — экспериментальные точки.

Как видно из экспериментов, предельные закомпенсированные токи превышают  $J_{\max}$  в несколько раз и незначительно отличаются от теоретических значений. Несколько заниженные значения  $J_{п.}$  по сравнению с теоретическими объясняются следующими причинами.

1) В пучке при токах  $> J_{кр.}$  возникают различные типы колебаний [11—13], и поэтому в некоторые моменты времени в нем имеется довольно сильное провисание потенциала  $\sim 5$ — $10\%$  от  $V_0$ , что приводит к уменьшению  $J_{п.}$  также на 5— $10\%$  (см. § 1).

2) Продольная энергия электронов в дрейфовом пространстве была всегда несколько меньше полной энергии за счет ее перераспределения при прохождении электронов около 1-й сетки. Эксперименты показали, что продольная энергия в среднем на 5— $7\%$  меньше, чем  $eV_0$ .

3) Некоторое провисание потенциала могло иметься в пучке за счет недостаточно большой величины отношения  $\frac{R_1 C_1}{\tau}$  ( $R_1 C_1 \sim 100$  мксек.;  $\tau \sim 20$  мксек.).

Рассмотренные выше причины могут снижать величину  $J_{п.}$  приблизительно на 15— $25\%$ .



## Литература

- [1] Дж. Пирс. Теория и расчет электронных пучков, М.—Л., 1956. —  
[2] Н. С. Зинченко. Курс лекций по электронной оптике, Харьков, 1958. —  
[3] М. Д. Габович. УФН, 56, 215, 1955. — [4] В. Р. Бурсиан, В. Павлов.  
ЖРФХО, 55, 71, 1923. — [5] A. Haeff. Proc. IRE, 27, 586, 1939. — [6] L. Smith,  
P. Hartman. J. Appl. Phys., 11, 220, 1940. — [7] M. Field, K. Spangenberg,  
R. Helm. El. Com., 24, № 1, 108, 1947. — [8] M. E. Hines. J. Appl. Phys., 26,  
1157, 1955. — [9] E. Linder, K. Hernqvist. J. Appl. Phys., 21, 1088, 1950. —  
[10] J. Pierce. J. Appl. Phys., 75, 721, 1944. — [11] C. C. Cutler. Proc. IRE,  
44, 61, 1956. — [12] T. Mihran. IRE Trans., ED-3, № 3, 117, 1956. — [13] K. Hern-  
qvist. J. Appl. Phys., 26, 544, 1955.

Поступило в Редакцию  
17 февраля 1961 г.